

292  
300

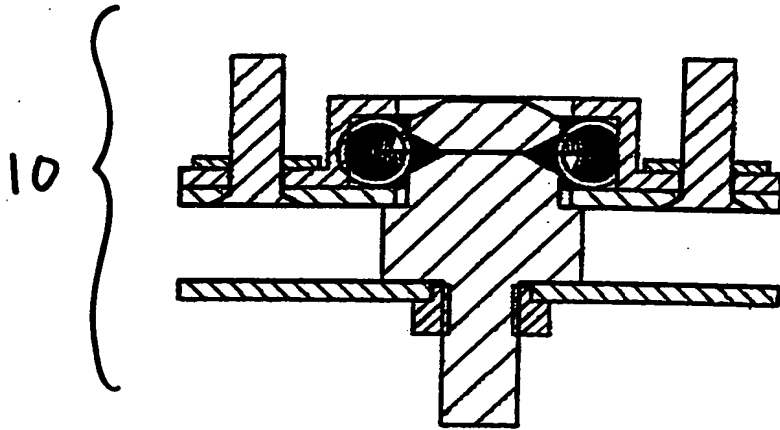


Fig. 1A

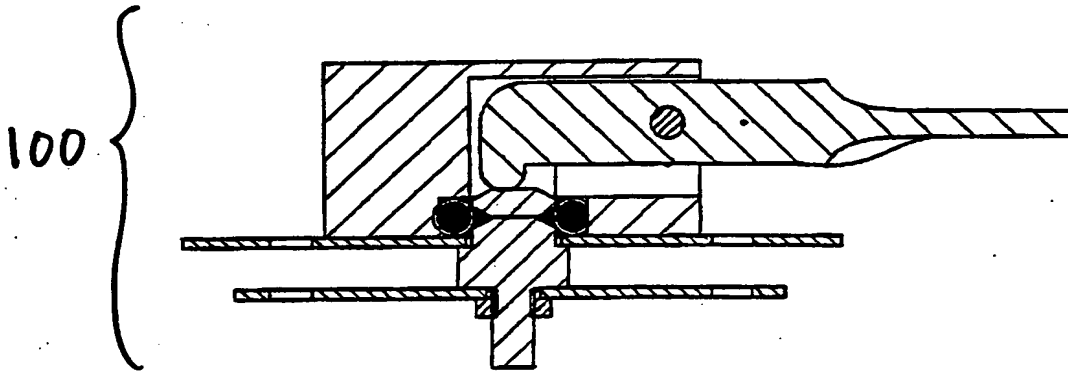


Fig. 1B

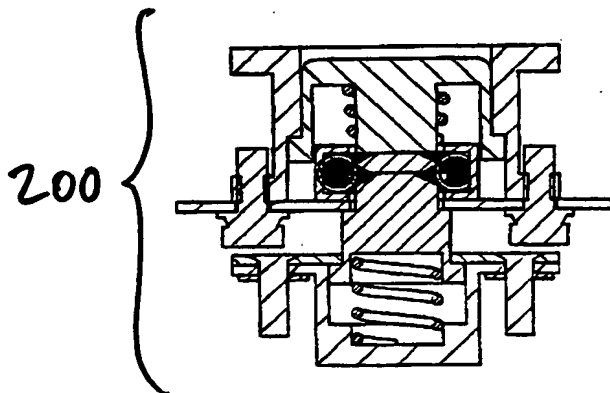


Fig. 1C

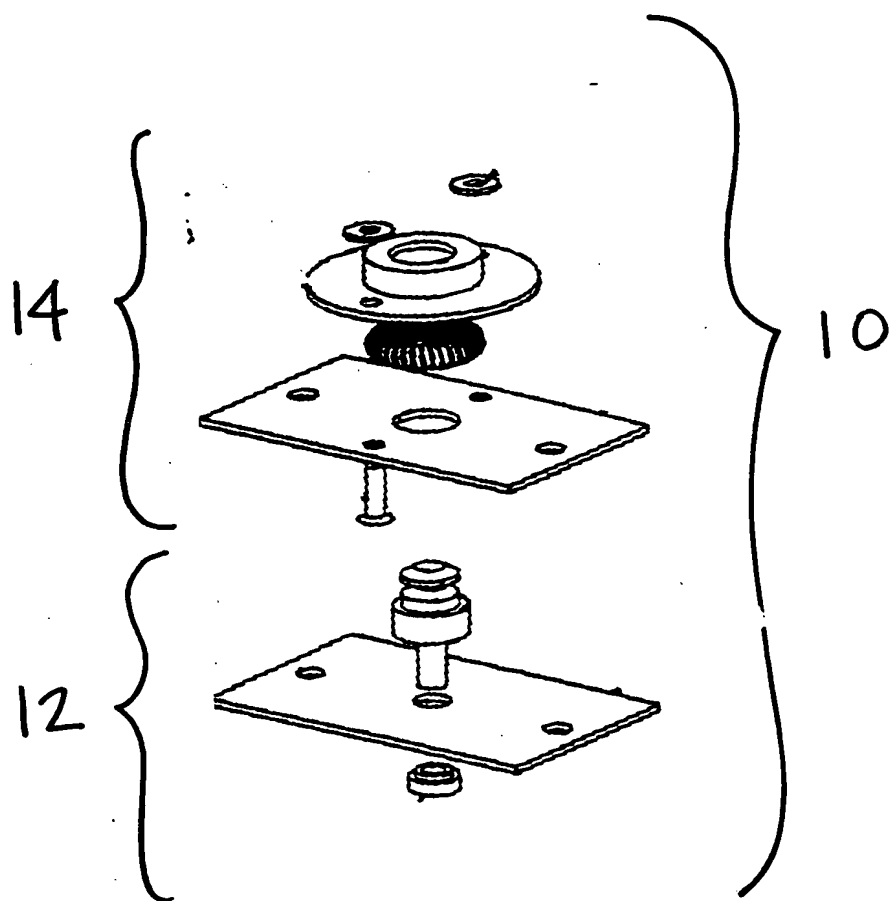
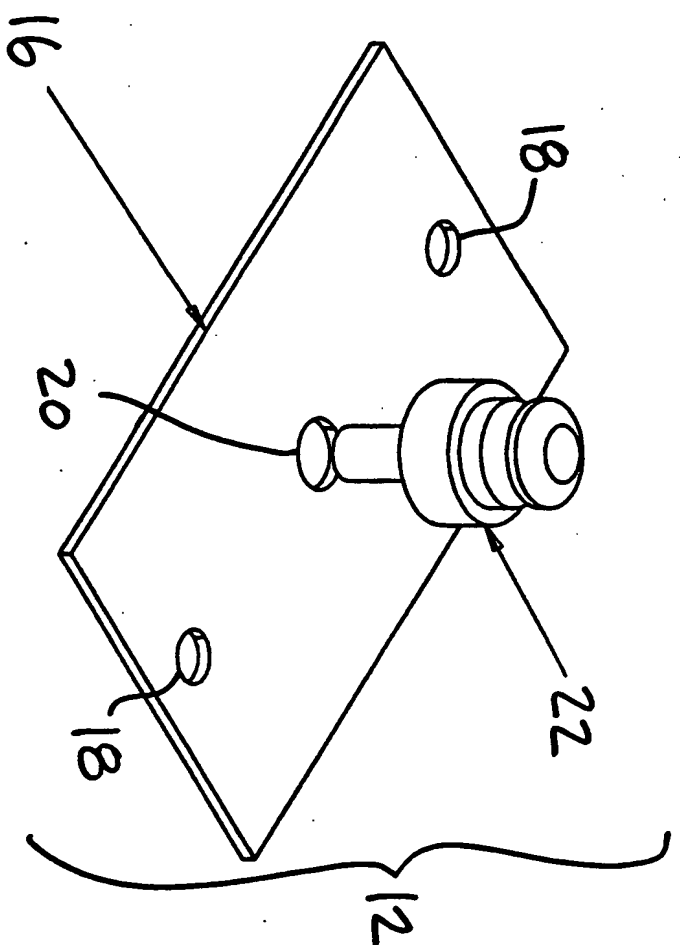
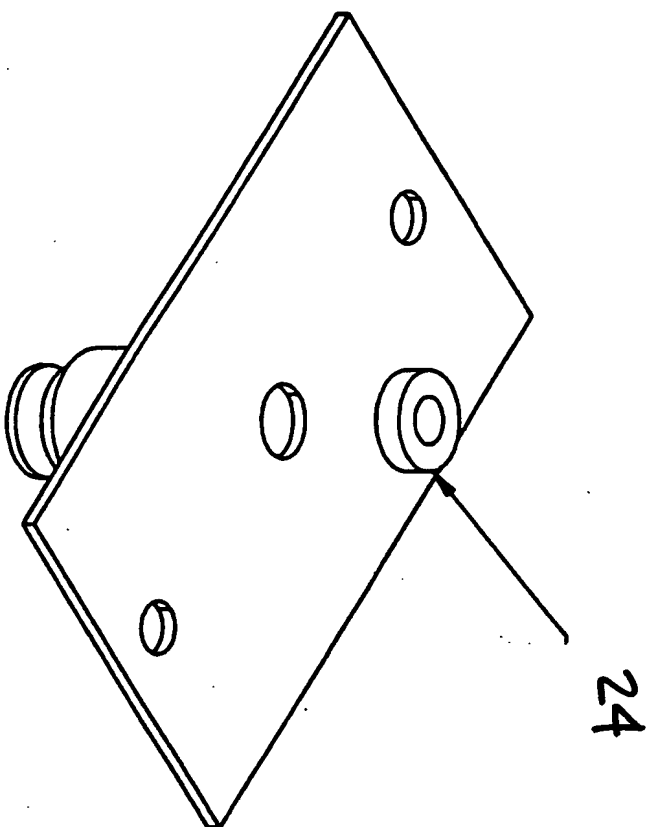


Fig. 2



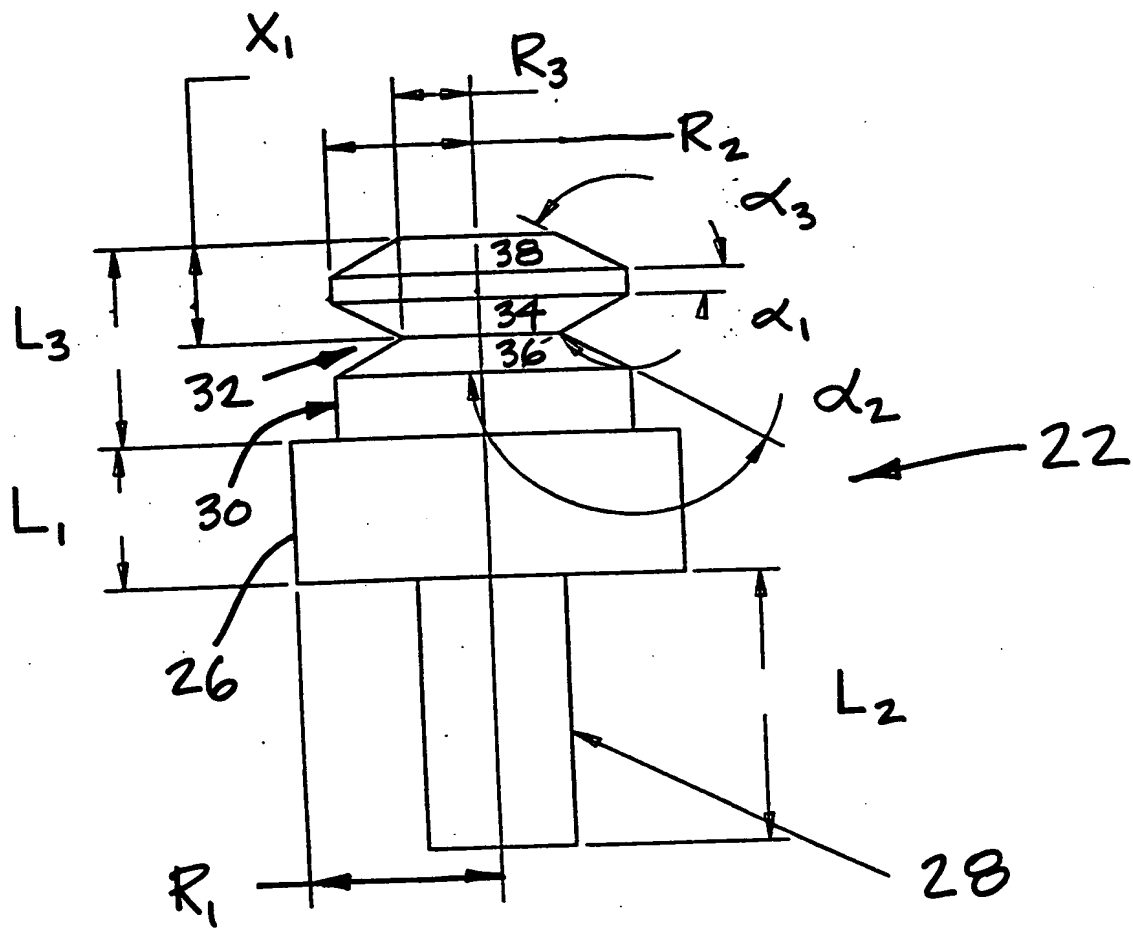


Fig. 5



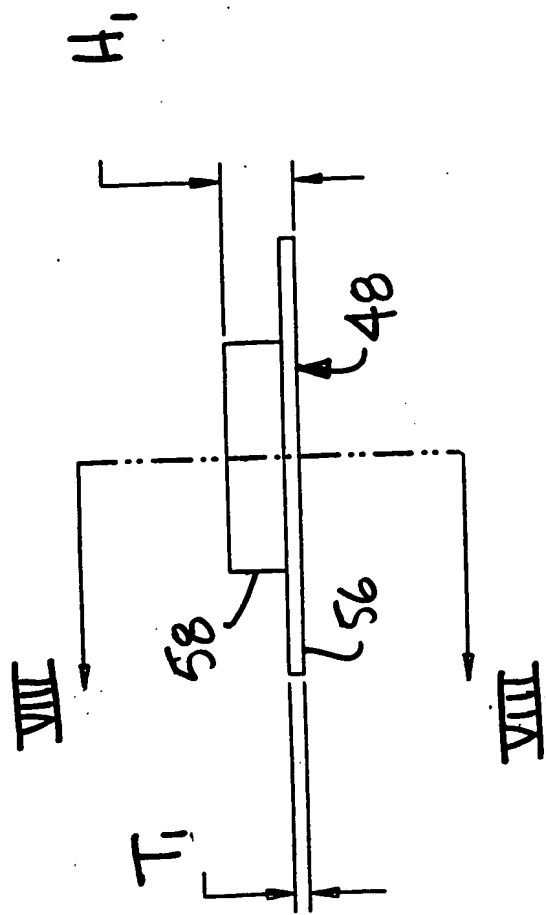


Fig. 7

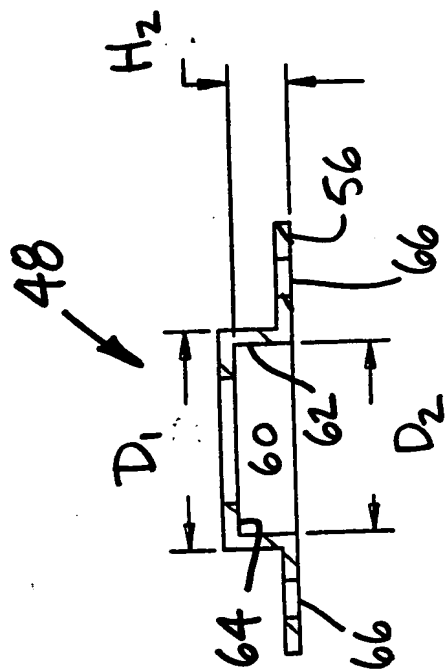


Fig. 8

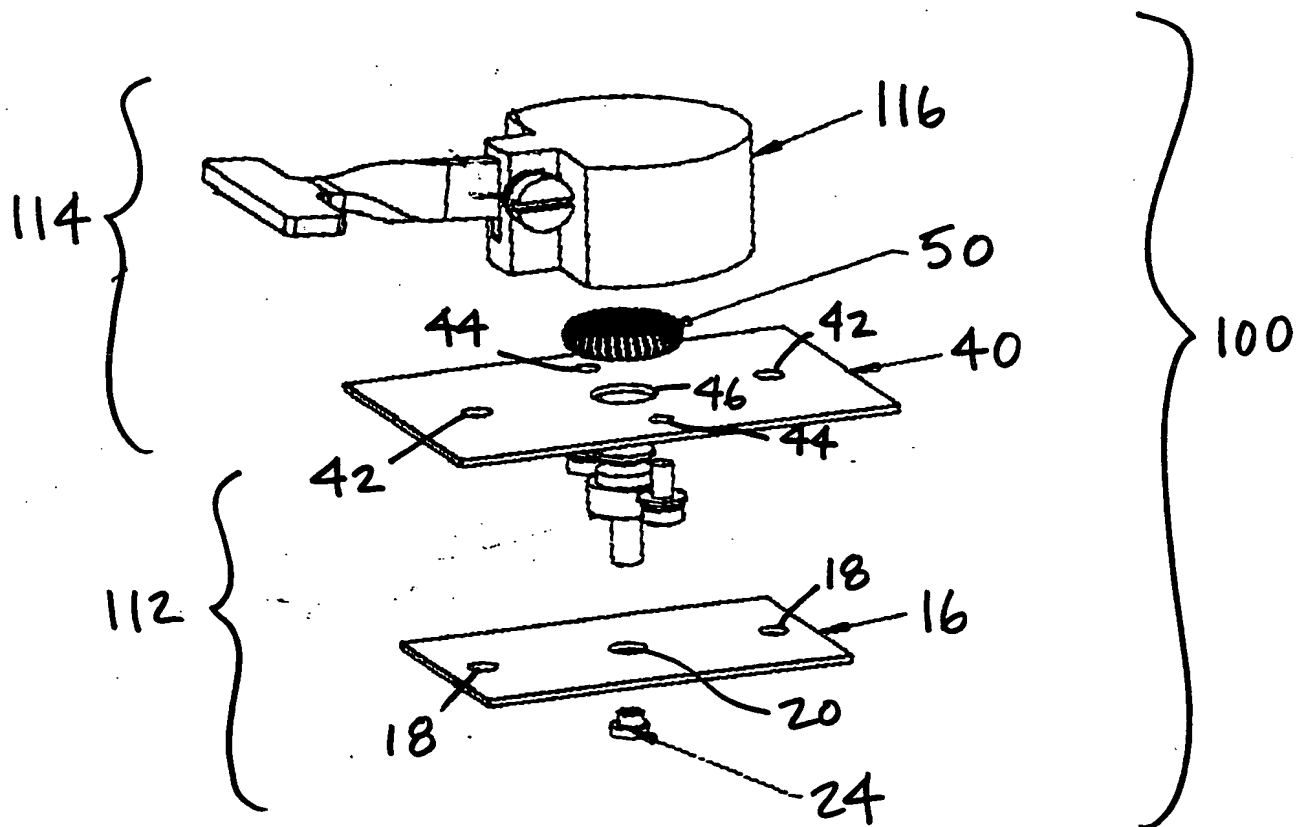


Fig. 9

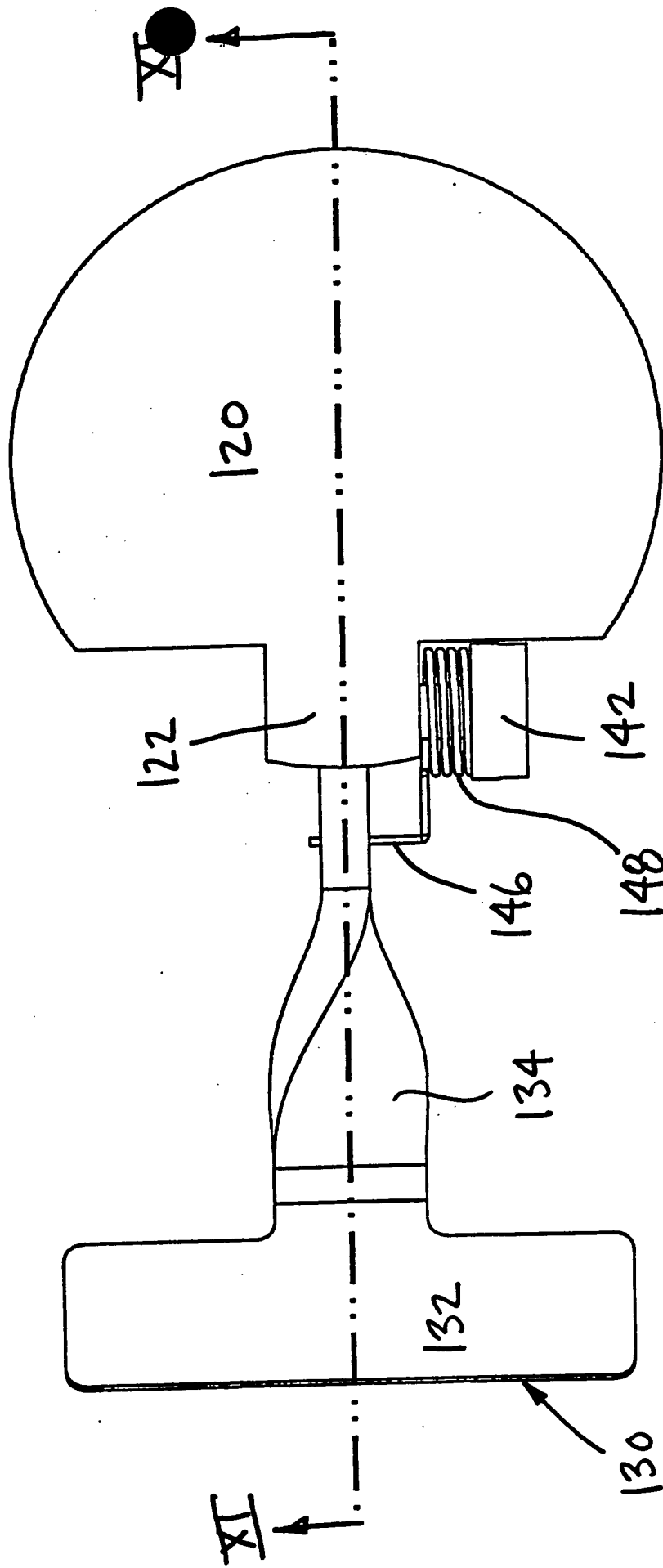
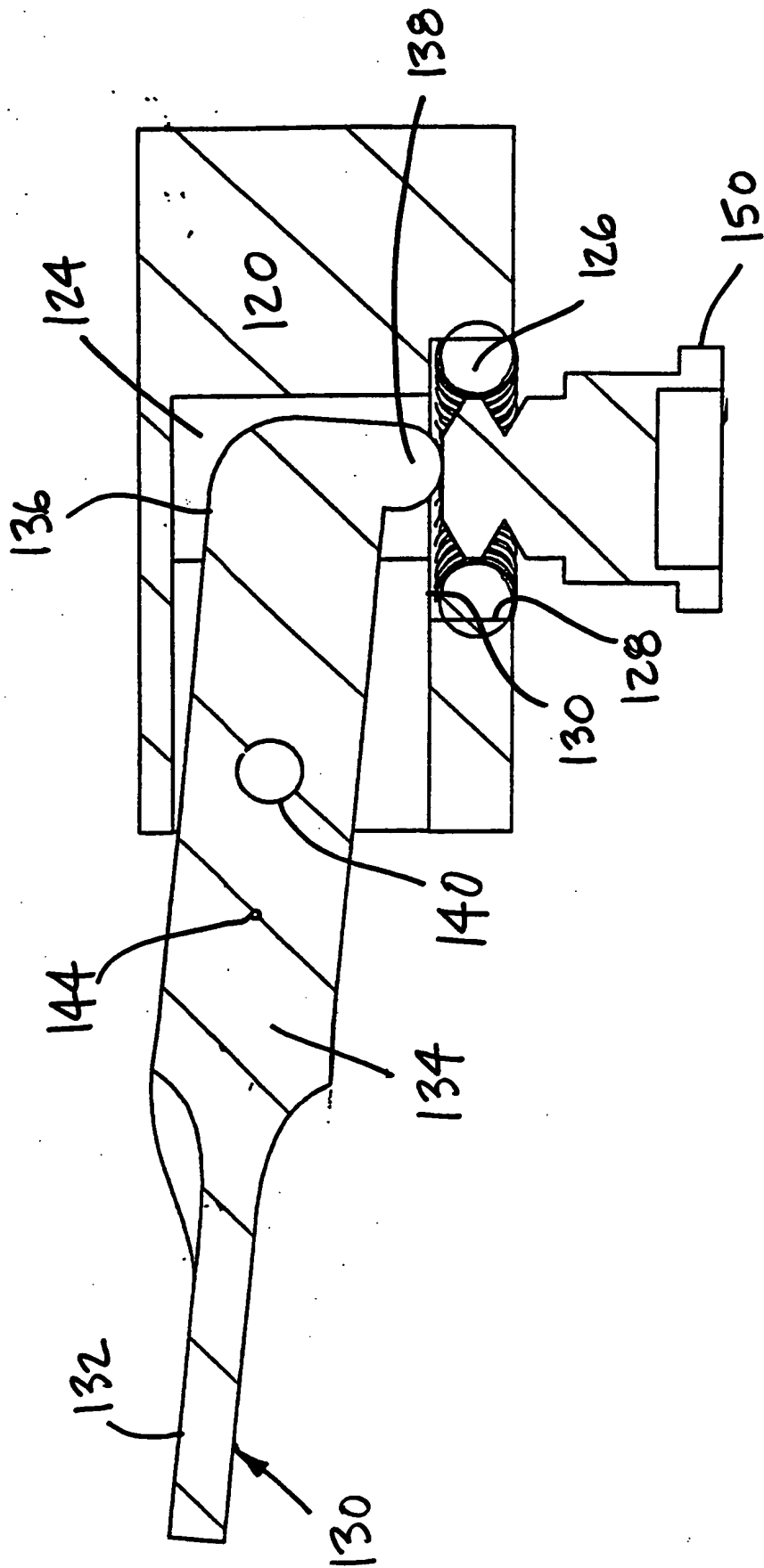


Fig. 10





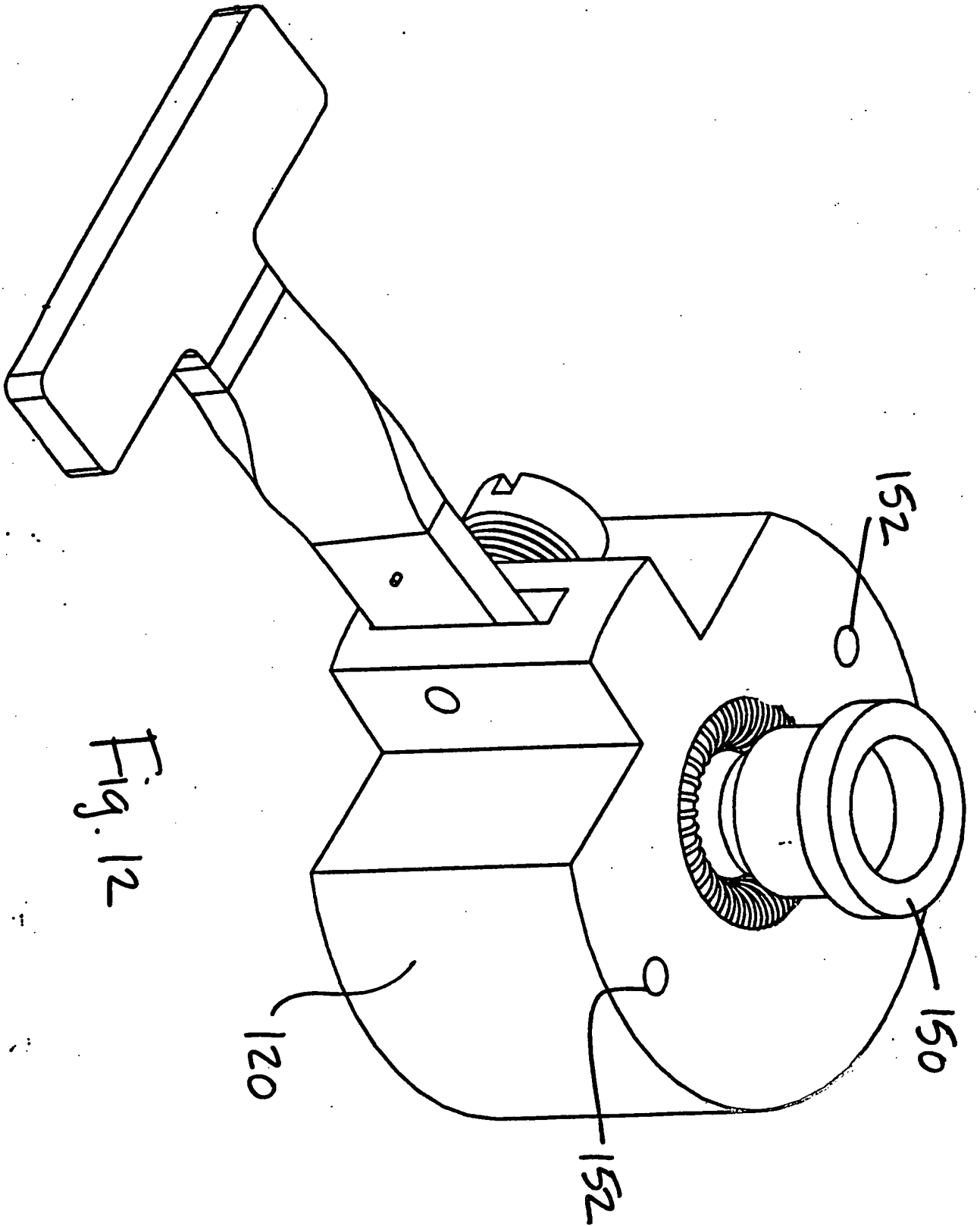


Fig. 12

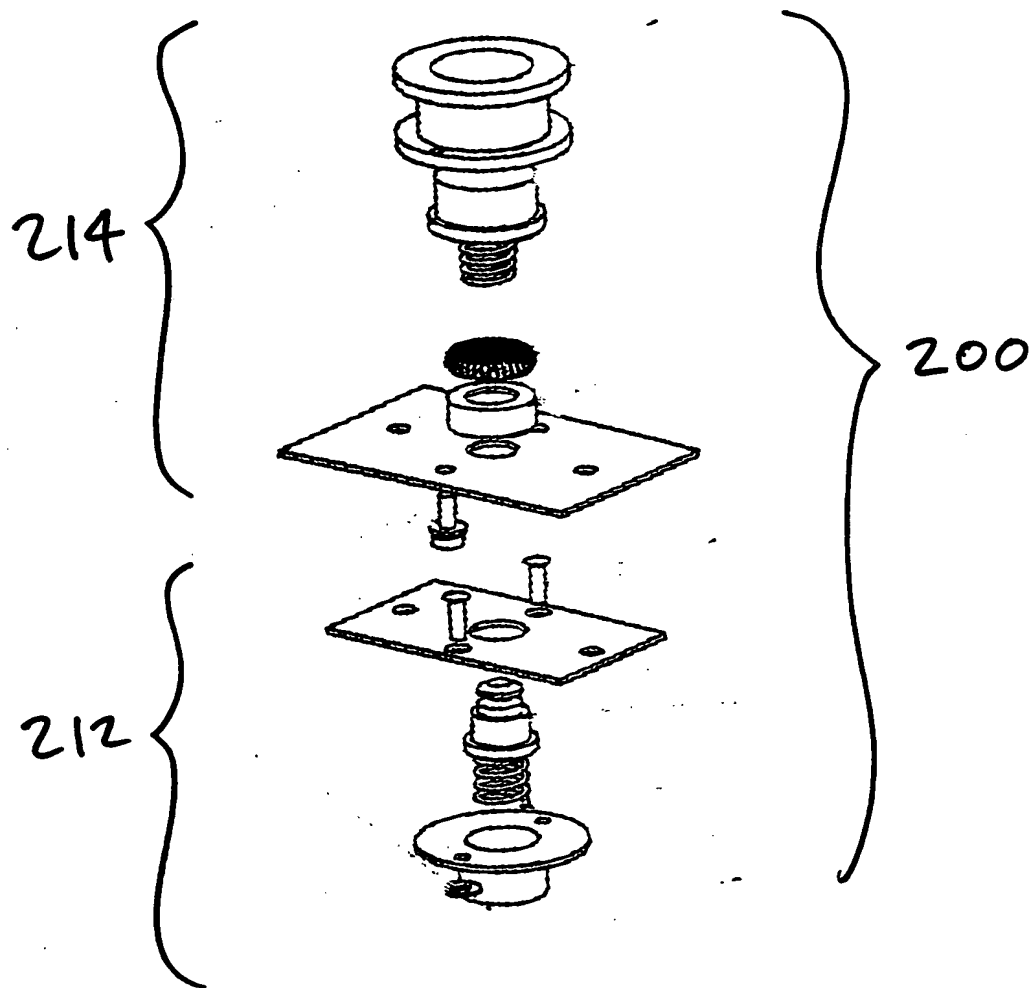


Fig. 13

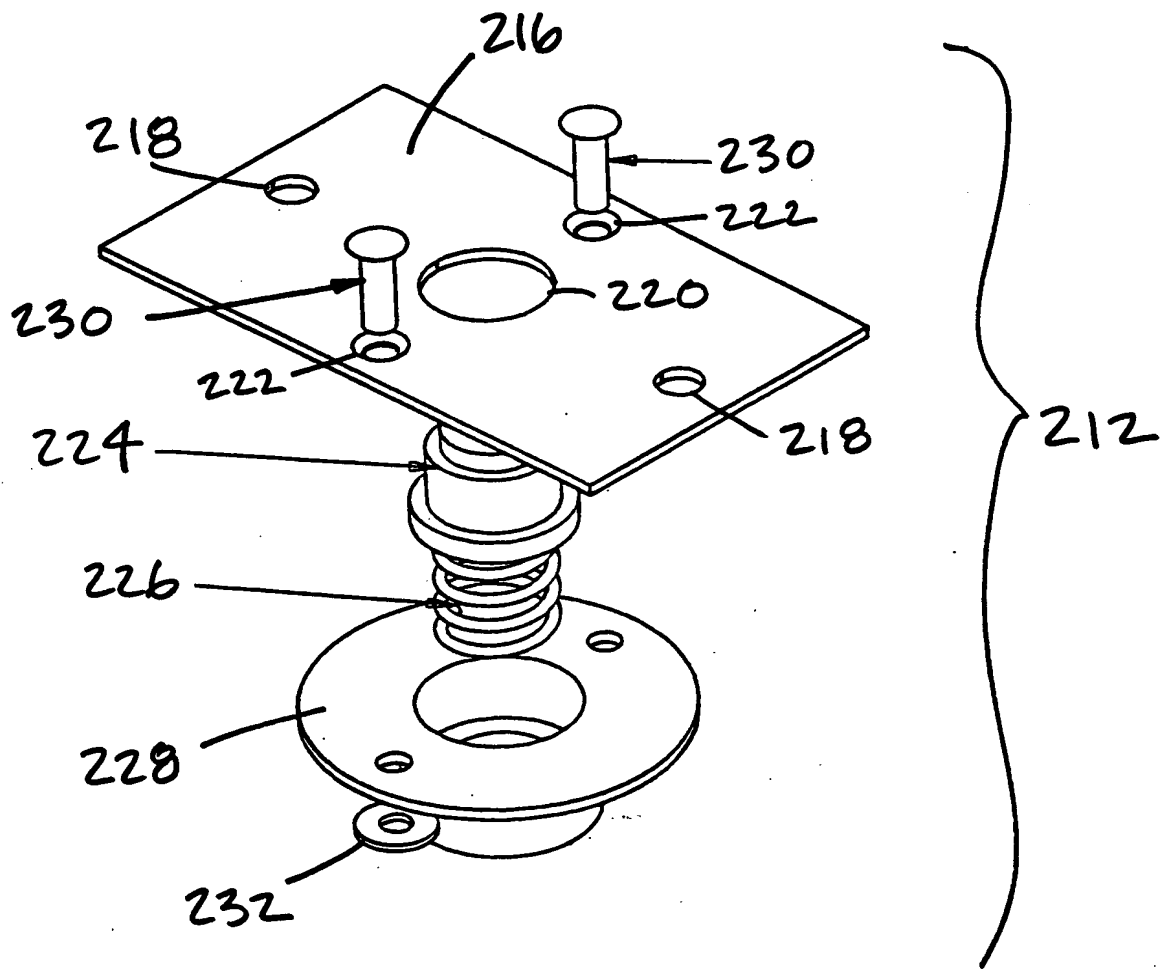


Fig. 14

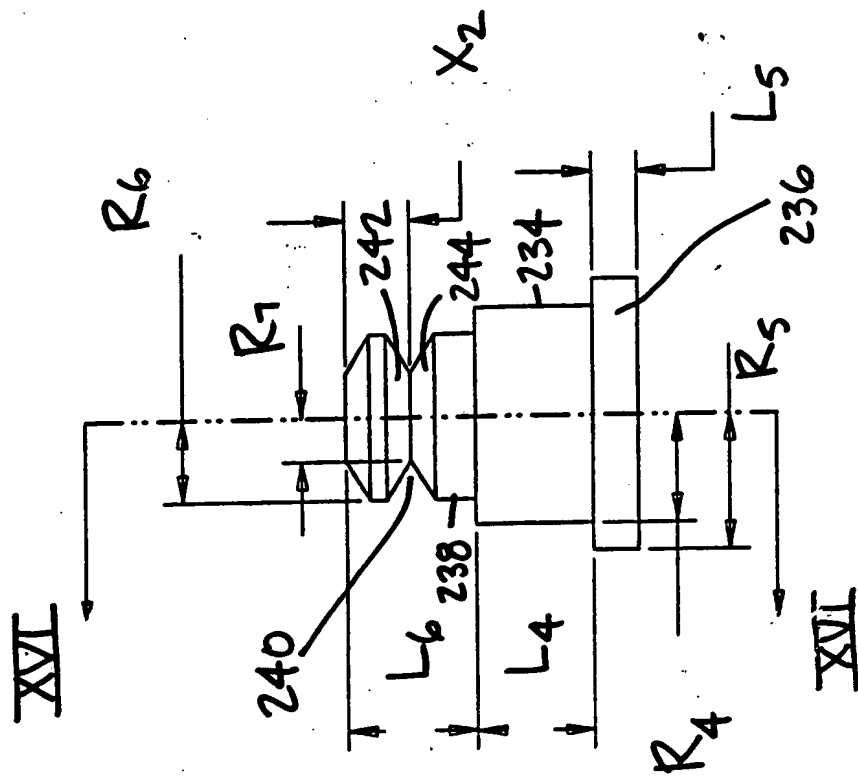


Fig. 15

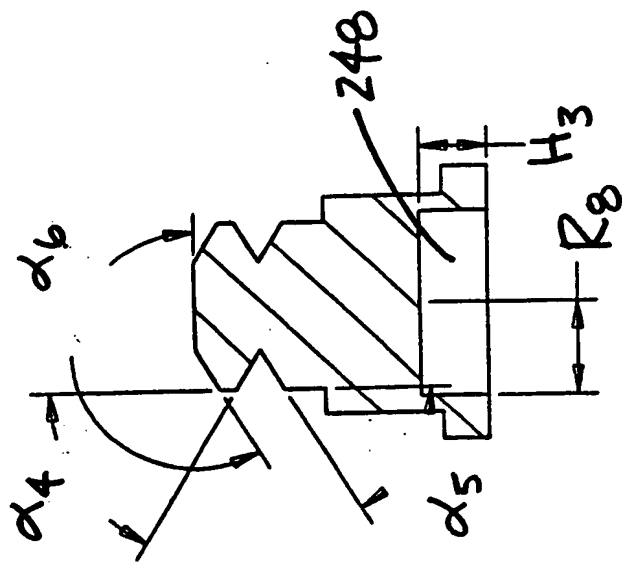


Fig. 16

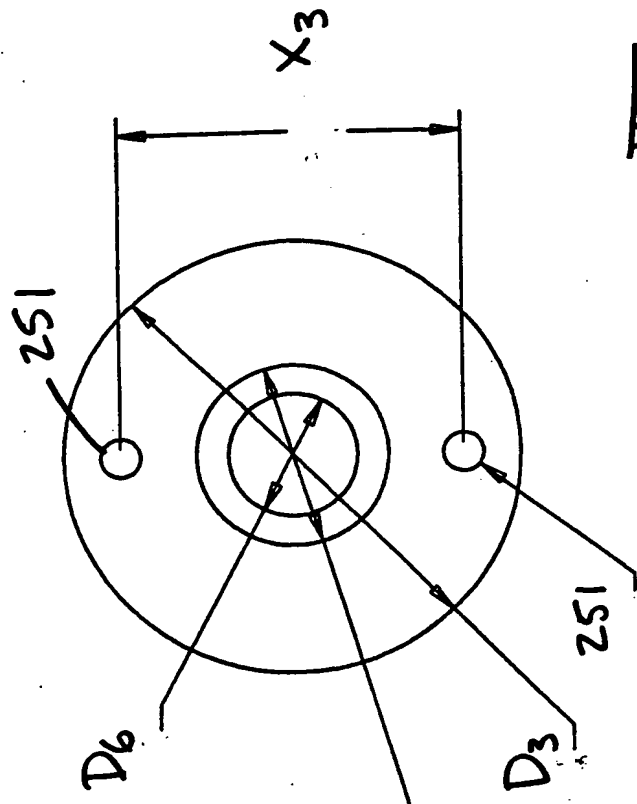


Fig. 19

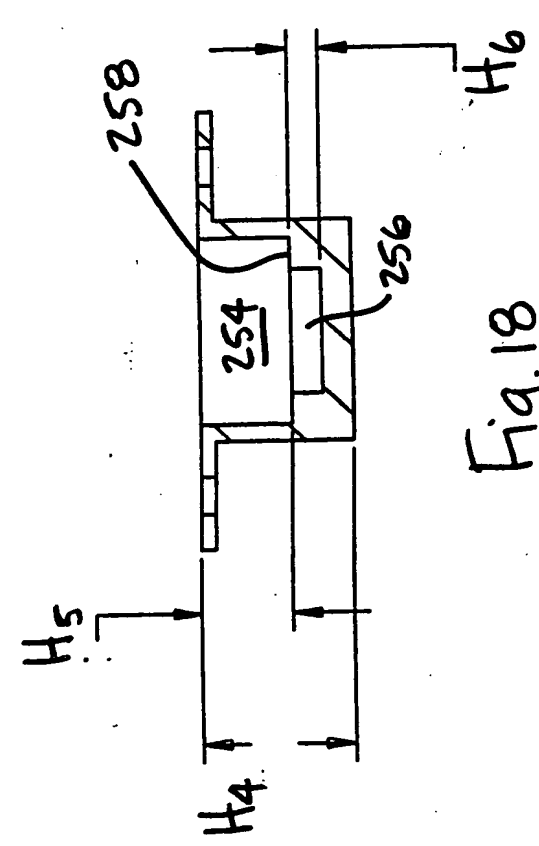


Fig. 18

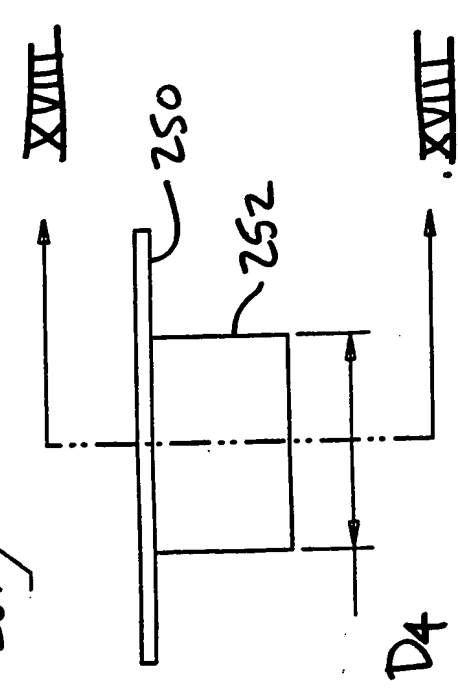


Fig. 17

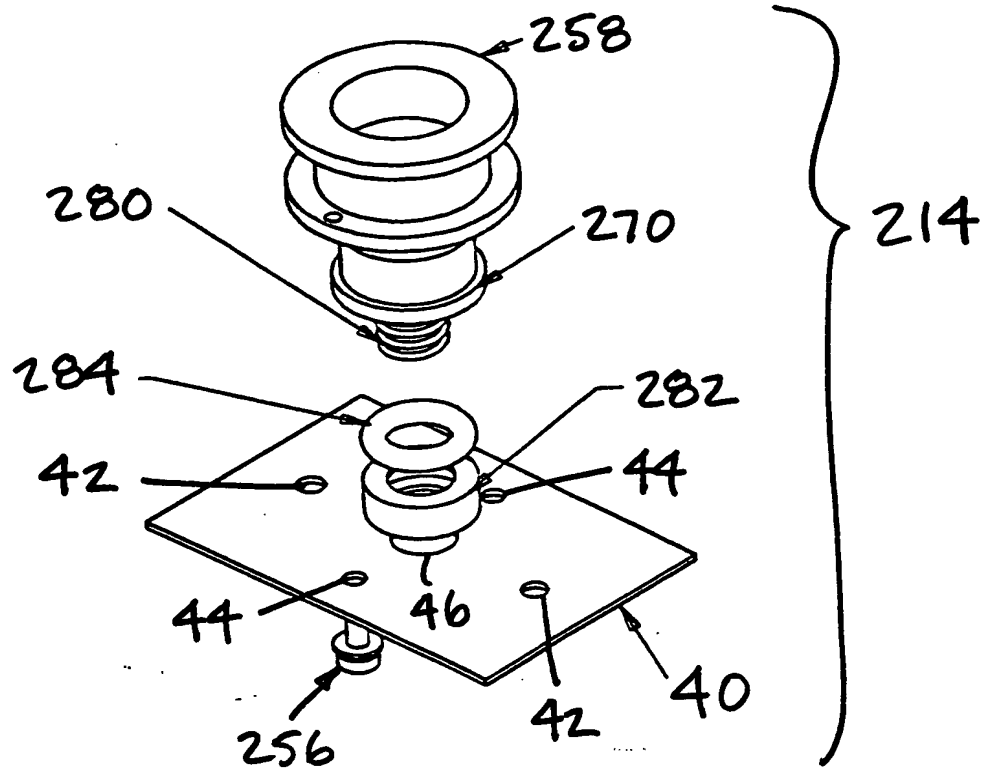
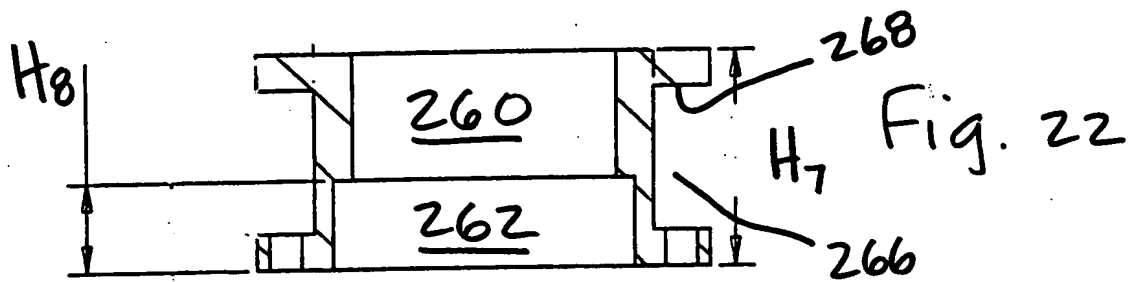
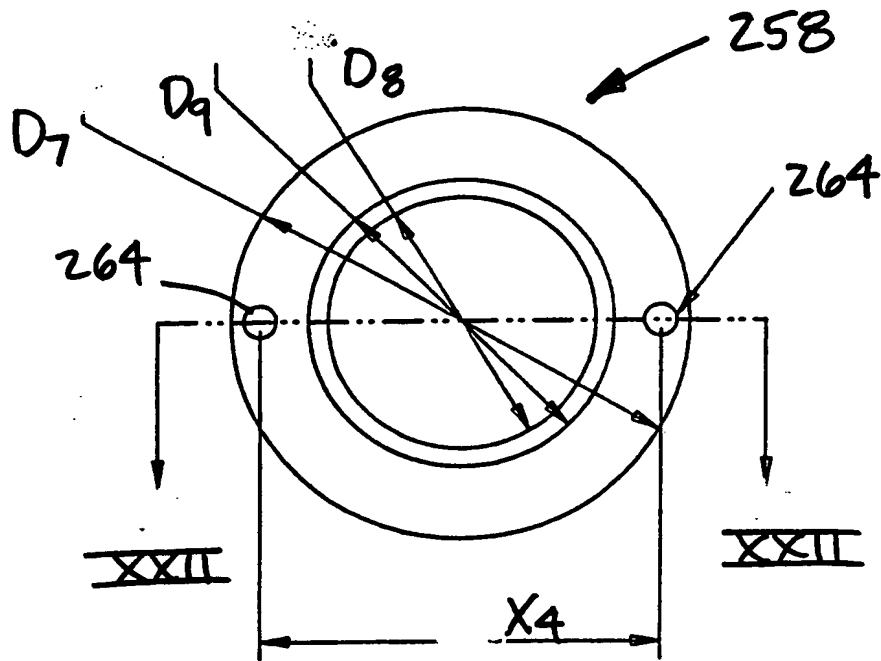


Fig. 20





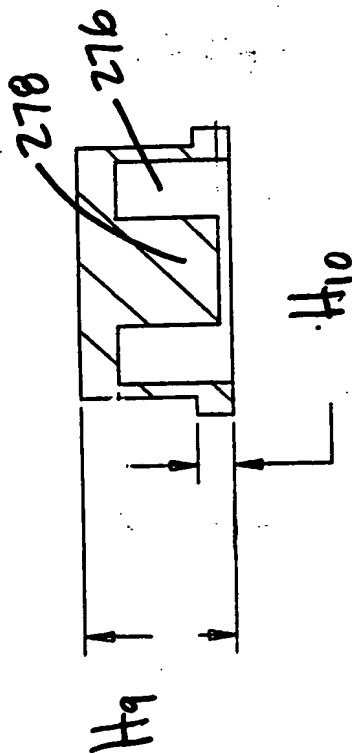
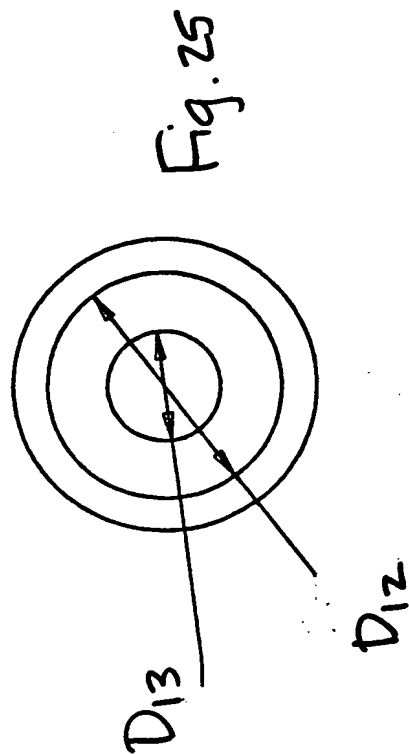
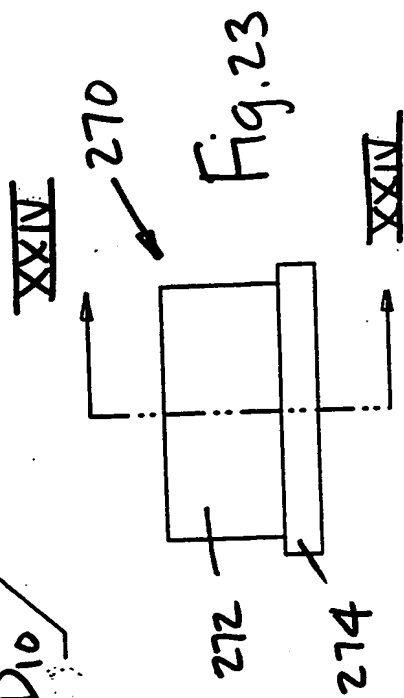
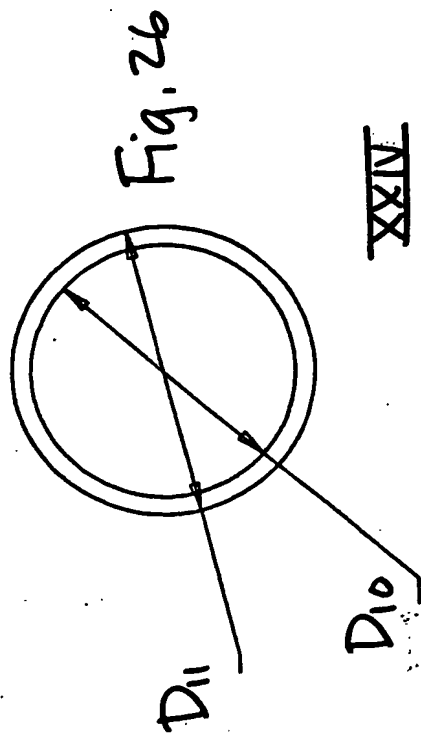


Fig. 29

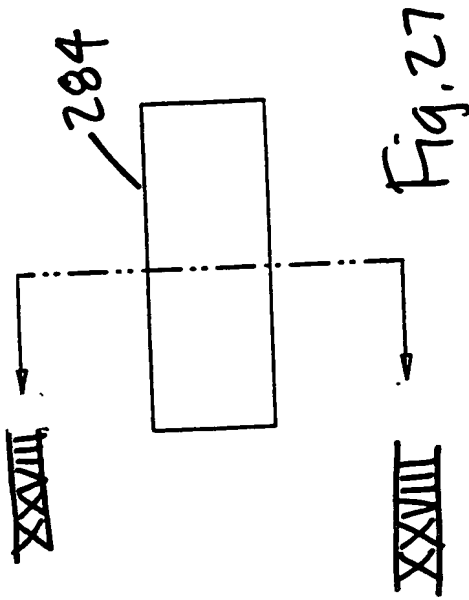
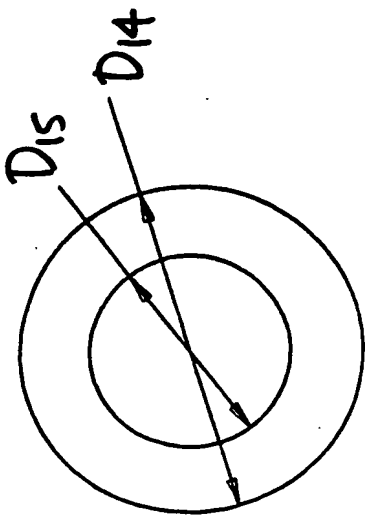


Fig. 27

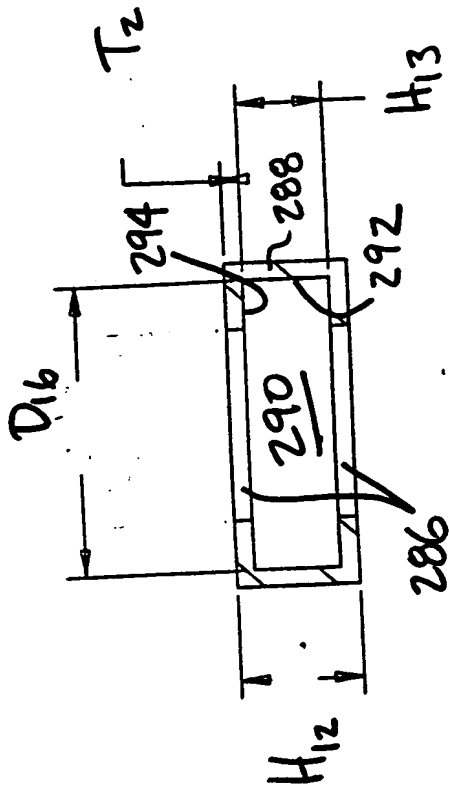


Fig. 28